

## ИЗУЧЕНИЕ ГЕЛИЯ II НИЖЕ 1 К МЕТОДОМ НЕУПРУГОГО РАССЕЯНИЯ НЕЙТРОНОВ

*Н.М.Благовещенский, И.В.Богоявленский, Л.В.Карнацевич,  
Ж.А.Козлов, Ю.Я.Миленко, В.А.Парfenов, А.В.Пучков*

В работе обсуждаются результаты исследования температурных зависимостей плотности бозе-кondенсата (БК) и средней кинетической энергии на атом в жидким гелии, полученные путем анализа спектров неупрогоого рассеяния нейтронов.

Возможность экспериментального исследования относительной плотности БК в жидким гелии-4 с помощью рассеяния нейтронов впервые обоснована в <sup>1</sup>. При передаче импульса нейтрана много больше обратного межатомного расстояния закон рассеяния можно представить в виде суперпозиции законов рассеяния нейтрана на атомах с ненулевым импульсом и на атомах, находящихся в состоянии бозе-кondенсации (импульсная аппроксимация).

В результате математического разложения экспериментального спектра на две гауссовские кривые, отвечающие рассеянию нейтронов на атомах БК и на остальных атомах (двуих-гауссовская модель <sup>2,3</sup>), можно оценить плотность БК. В работе <sup>4</sup> этим методом исследована температурная зависимость плотности БК  $n_0(T)$  в области 1,2 – 4,2 К. Экспериментальные значения  $n_0(T)$  аппроксимировались степенной зависимостью

$$n_0(T) = n_0^* [ 1 - (T/T_0)^m ] \quad (1)$$

со следующими значениями свободных параметров:

$$n_0^* = 0,022 \pm 0,002; \quad T_0 = 2,24 \pm 0,04; \quad m = 9,0 \pm 4,0.$$

Аналогичный характер зависимости  $n_0(T)$  в интервале температур  $1\text{ K} - T_\lambda$  получен в <sup>5</sup> из недавних исследований радиальной функции распределения  $g(r)$  и распределения атомов гелия-4 по импульсам. При закрепленном параметре  $T_0 = T_\lambda$ ,  $n_0^* = 0,139 \pm 0,023$ ;  $m = 3,6 \pm 1,4$ . Различие значений  $n_0^*$ , вероятно связано с использованием различных методов определения плотности БК.

В работе <sup>6</sup> установлена связь между описанием сверхтекущего гелия в терминах двухжидкостной модели и микроскопическим описанием гелия, основанном на методе, изложенным в работе <sup>7</sup>. Авторами получено выражение для  $n_0(T)$  в интервале температур от 0 до  $T_\lambda$ , которое предсказывает значительное возрастание  $n_0$  при  $T \sim 0,6\text{ K}$ . В области  $0,6\text{ K}$  качественно изменяются также температурные зависимости ряда макроскопических свойств гелия-4 (вязкость нормальной компоненты, скорость второго звука и др.). Это, вероятно, обусловлено изменением относительного вклада в термодинамику жидкого гелия ротонов и фононов.

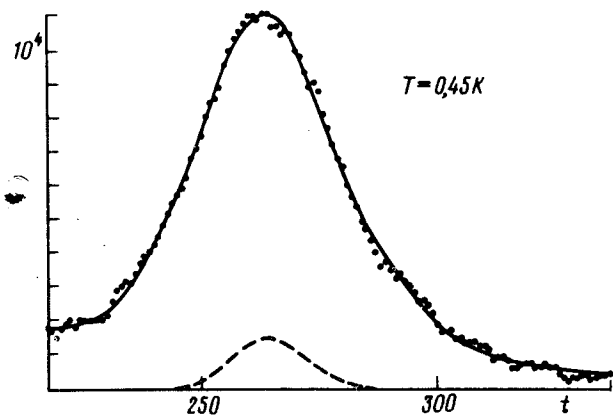


Рис. 1

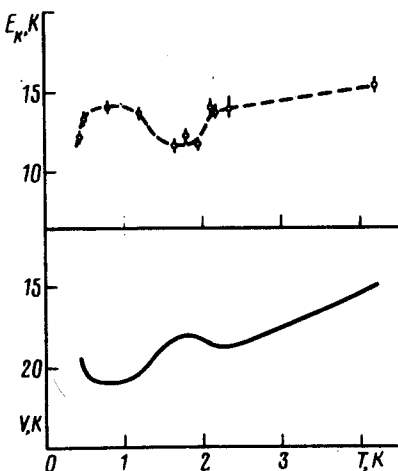


Рис. 3

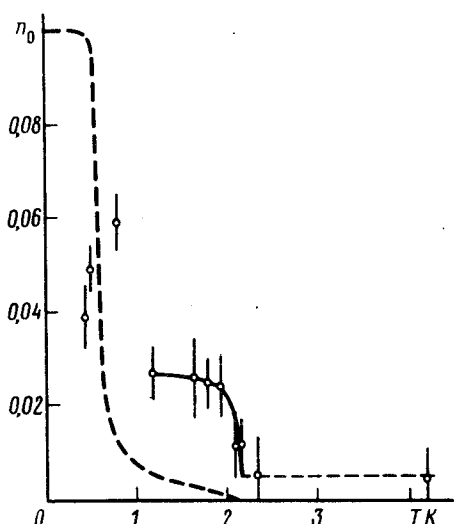


Рис. 2

Рис. 1. Экспериментальный спектр нейтронов, рассеянных жидким гелием при  $T = 0,45\text{ K}$  с передачей импульса  $14,3\text{ \AA}^{-1}$ . Пунктирная линия – составляющая спектра, отвечающая рассеянию нейтронов на БК. Сплошная линия – результат описания спектра с помощью двухгауссовой модели.  $t$  – номер канала временного анализатора

Рис. 2. Зависимость плотности БК от температуры

Рис. 3. Температурные зависимости средних кинетической и потенциальной энергий на атом жидкого гелия

В настоящей работе впервые проведены исследования плотности БК ниже  $1\text{ K}$ . Использовался криостат, позволяющий охлаждать образец гелия-4 объемом  $\sim 4\text{ л}$  до температур  $\sim 0,4\text{ K}$  с помощью откачки пара гелия-3 адсорбционным газососом, расположенным внутри

криостата. Точность поддержания температуры – 0,01 К. Измерения выполнены на спектрометре ДИН-1М на реакторе ИБР-30 при температурах образца 0,45; 0,5 и 0,8 К. На рис.1 показан характерный экспериментальный спектр нейтронов, рассеянных жидким гелием-4. Полученные значения относительной плотности БК в области температур 0,45 – 4,2 К приведены на рис.2. Сплошной кривой показан результат аппроксимации данных <sup>4</sup> степенной зависимостью (1). Пунктиром обозначена теоретическая кривая из работы <sup>6</sup>. Из рисунка видно, что при  $T = 1$  К наблюдается возрастание плотности БК. Этот результат качественно согласуется с теорией <sup>6</sup> и не противоречит оценкам  $n_0 \sim 0,1$  при  $T = 0$  К <sup>8</sup>.

Ширина гауссовской кривой, отвечающей рассеянию нейтронов на атомах БК, как и ожидалось, в пределах ошибок, во всем интервале температур 0,45 – 4,2 К соответствует функции разрешения спектрометра.

Измерение ширины „надконденсатного” гауссиана позволяет вычислить среднюю кинетическую энергию на атом гелия в жидкости <sup>2</sup>:

$$\langle E_k \rangle = \frac{3}{8} \left[ \frac{\gamma_2 (1 - n_0)}{\omega_0} + n_0 \gamma_0^{1/2} \right], \quad (2)$$

где  $\gamma_2$  и  $\gamma_0$  – квадраты ширин „надконденсатного” и „конденсатного” гауссианов за вычетом функции разрешения (в нашем случае  $\gamma_0=0$ ),  $\omega_0$  – энергия ядра отдачи.

Потенциальная энергия взаимодействия, отнесенная к 1 атому жидкого гелия, определяется выражением <sup>9</sup>:

$$V = \frac{5}{2} kT - E_k - L - P/\rho, \quad (3)$$

где  $L$  – скрытая теплота испарения,  $P$  – давление,  $\rho$  – плотность. Зависимость  $E_k(T)$  и  $V(T)$  приведены на рис.3. Наблюдаемый максимум на кривой  $V(T)$  в области 1,2 – 2,17 К связан с уменьшением плотности гелия-4 ниже  $T_\lambda$  и появлением бозе-конденсата.

Авторы благодарят С.Т.Беляева, О.Д.Казачковского, В.С.Когана, Б.Г.Лазарева, Ю.М.Осташевича, Л.П.Питаевского за внимание к работе и полезные обсуждения.

#### Литература

1. Hohenberg P.C., Platzman P.M. Phys. Rev., 1966, 152, 198.
2. Puff R.D., Tenn J.S. Phys. Rev., 1970, A1, 125.
3. Александров Л., Загребнов В.А., Козлов Ж.А., Парфенов В.А., Приезжев В.Б. ЖЭТФ, 1975, 68, 1825.
4. Докукин Е.Б., Козлов Ж.А., Парфенов В.А., Пучков А.В. Письма в ЖЭТФ, 1976, 23, 497; ЖЭТФ, 1978, 75, 2273.
5. Sears V.F., Svensson E.C. Phys. Rev. Lett., 1979, 43, 2009; Sears V.F., Svensson E.C., Martel P., Woods A.D.B. Phys. Rev. Lett., 1982, 49, 279.
6. Hyland G.J., Rowlands G. J. of Low Temp. Phys., 1972, 7, 271.
7. Frölich H. Phys. Cond. Mat., 1969, 9, 350.
8. Penrose O., Onsager L. Phys. Rev., 1956, 104, 576; Lam P.M., Ristig M.L. Phys. Rev., 1979, B20, 1960.
9. Gibbs A.G., Harling O.K. Phys. Rev., 1971, A3, 1713.